

Effect of ohmic heating on the thermophysical properties for cow milk Second part

تأثير التسخين الأومي على الخواص الفيزيو حرارية لحليب الأبقار الجزء الثاني

اسعد رحمان سعيد الحلفي حيدر إبراهيم علي غسان فيصل محسن

قسم علوم الأغذية - كلية الزراعة- جامعة البصرة

البحث مستل من رسالة ماجستير للباحث الثالث.

الخلاصة

بعد التسخين الأومي من التقنيات الحديثة في هندسة تصنيع الأغذية ، إذ يعمل على منع تكوين الترسبات داخل أنابيب التسخين التي لها أثر سلبي حيث تؤدي إلى خفض معامل الانتقال الحراري ورداعه نوعية الحليب المبستر وتلوثه . تم قياس درجات الحرارة لفروق الجهد المختلفة في الجهاز وحسب درجة حرارة الحليب و التوصيل الحراري والحرارة النوعية والكثافة والانتشار الحراري واللزوجة للحليب ، كما تمت دراسة تأثير فروق الجهد المختلفة بالإضافة إلى عملية البسترة بالطريقة التقليدية السريعة على دنترة بروتينات الشرش وأظهرت النتائج ما يلي : درجة حرارة الحليب العملية ثابتة لوجود الصمام الكهربائي الذي يسيطر على الدرجة الحرارية وبالبالغة 72°C . ازداد التوصيل الحراري والانتشار الحراري في الحليب مع زيادة درجة الحرارة في التسخين الأومي عند فروق الجهد المستخدمة وكذلك مع البسترة التقليدية السريعة . انخفضت اللزوجة والكثافة للحليب مع زيادة درجة الحرارة في التسخين الأومي عند فروق الجهد المستخدمة والبسترة التقليدية السريعة . وتم دراسة تأثير التسخين على فروق الجهد المختلفة $V = 220, 110, 80$ وظهر من خلال الحزم المفصولة عند الترحييل الكهربائي أن التسخين عند فرق الجهد $V = 80$ لم يتسبب بدنترة بروتينات الشرش بينما كان هناك تأثير محسوس جداً على بروتينات الشرش بالمقارنة مع التسخين على فروق الجهد $V = 110, 220$ الذي كان تأثير بروتينات الشرش واضحاً بسبب شدة التسخين .

كلمات مفتاحية: تسخين أومي، حليب، بسترة.

Summary

The application ohmic heating is a modern technologies in food processing, working on preventing the formation of deposits inside the heating pipes which have negative effects on the heating process, leads to reduce heat transfer coefficient poor quality of pasteurized milk and it's contamination. Temperature were measured for different ohmic heating and variation temperature of the milk , heat conductivity , specific heat, density , thermal diffusivity and viscosity of the milk, were calculated The effect of differences in various voltage beside the

conventional pasteurization (H.T.S.T.) on denaturized whey proteins. Results showed the following: the temperature of milk under process was fixed depending on the presence electrical valve that controls on the temperature at 72°C . Thermal conductivity and thermal diffusivity in the milk was increased with increasing temperature ohmic heating at all voltages different and with conventional pasteurization. The viscosity and density of milk was decreased with increasing temperature milk treated by ohmic heating at all voltages and with conventional pasteurization. The effect of ohmic heating at $220, 110, 80\text{ V}$ and showed that the separated whey bands by electrophoresis showed that the ohmic heating at 80 V didn't affect the denaturized whey proteins compared with the heating by $V = 220, 110\text{ V}$, which had significant effect on whey proteins and clear because of the severity of heating.

Key words:ohmic heating, milk, pasteurization.

المقدمة

يعد التسخين الأولي والذي يعرف أيضاً بـ Resistive heating وذلك بـ Joule Heating من التقنيات الحديثة في هندسة تصنيع الأغذية ، وهو عملية حرارية متقدمة يتحول فيها الغذاء إلى مقاومه كهربائية حيث تمر الكهربائية خلال المادة الغذائية بفرق جهد وتيار معينين وتتوزع الحرارة داخل كتلة المادة بشكل متجانس على العكس من استعمال الأسطح الساخنة في الطرائق التقليدية (Shirsat et al, 2004, Leizerson & Shimoni, 2005, Icier & Ilcali, 2005). تعد تقنية التسخين الأولي من الطرائق الكهربائية الحديثة والبارزة بوجود الأقطاب الكهربائية التي تكون بالاتصال المباشر بالغذاء (Vicente, 2007).

تمتاز تقنية التسخين الأولي بكونها من الطرق السريعة والمتناصفة في زيادة درجة حرارة الوسط ، وهذه الزيادة في درجة الحرارة بين تقليل كمية الاستخدام الحراري الضار على المنتجات الغذائية وخلق منتجات مرغوبة أكثر (CFSAN2000) .

وتعديق التوصيل الحراري لأغذياً ذات الرطوبة المرتفعة مقاربة لقيمة التوصيل الحراري للماء (حوباني وبكري ، 2000) . وهو من الخصائص المهمة التي تحدد انتقال الحرارة خلال الأغذية أثناء عمليات التصنيع الغذائي وأن المحتوى المائي للأغذية له تأثير كبير على التوصيل الحراري لها (Rao et al, 2005) . وتنتأثر الحرارة النوعية للمنتج بمحتواه الرطوبي ودرجة الحرارة والضغط إذ تزداد الحرارة النوعية مع زيادة المحتوى الرطوبي للمنتج، وفي معظم تطبيقات هندسة التصنيع الغذائي تستخدم الحرارة النوعية عند ضغط ثابت (Singh & Holdman, 2009) . أن قيم الانتشار الحراري للمنتجات الغذائية تتراوح بين 2×10^{-7} m/s - 1×10^{-7} . والوزن النوعي للحليب هو عبارة عن مجموع الأوزان النوعية لمكوناته وحيث أن تلك المكونات البنية شديدة التأثير بكثير من العوامل لذلك فالوزن النوعي يتراوح بين 1.025-1.034 للحليب البقرى وحيث إن تلك النسبة واقعة في مدى معين لذلك تستخدم في الكشف عن غش الحليب . أما لزوجة الحليب فتتراوح بين 2.2-2.4 Centipoise على درجة حرارة 20°C حيث تعتمد على الجزيئات المنتشرة ضمن النظام الغروي للحليب وخاصة البروتينات وكذلك الدهون . وللزوجة أهمية حيث أنها من الخصائص التي يتم التحكم بها والتي تؤثر على اضفاء الدسمة للمنتج وتؤثر على جودته . (النمر ، 2003) . تلعب دنترة بروتينات الشرش دوراً مهماً في تكوين الرواسب على أسطح المبادلات الحرارية عند تصنيع الحليب ومنتجاته إذ وجده Rakes et al (1986) أن تكوين الرواسب في المبادل الحراري أثناء المعاملة الحرارية للشرش يشبه تكوين الرواسب الناتجه عن المعامله الحرارية للحليب ولكنه أعلى بكثير . وتهدف الدراسة الحالية الى دراسة تأثير التسخين الأولي على الخواص الفيزيوحرارية(درجة حرارة ، الحرارة النوعية ، التوصيل الحراري ، الانتشار الحراري ، الكثافة ، اللزوجة ، وعلى دنترة بروتينات الشرش) لحليب الأبقار المبستر.

المواد وطرائق العمل

جهاز بسترة الحليب بالتسخين الأولي

استعمل جهاز بسترة الحليب بالتسخين الأولي المصنوع من قبل الحلفي وآخرون (2012) الذي يتكون من وحدة التسخين الأولي ووحدة السيطرة ووحدة التبادل الحراري. كما مبين بالشكل 1. تم الحصول على الحليب الخام (حليب الأبقار) من محطة الأبحاث الزراعية التابعة لكلية الزراعة/جامعة البصرة .



شكل (1) : صورة فوتوغرافية لجهاز بسترة الحليب بالتسخين الابمي .

جامعة كربلاء // المؤتمر العلمي الثاني لكلية الزراعة 2012

الحرارة النوعية : حسبت الحرارة النوعية من المعادلة التالية : (Toledo,2007)

$$C_p = P(C_{pp}) + F(C_{pf}) + C(C_{pc}) + A(C_{pa}) + M(C_{pw}) \dots \dots \dots \quad (1)$$

$$\begin{aligned}C_{pp} &= 2008.2 + 1208 \times 10^{-3}T - 1312.9 \times 10^{-6}T^2 \\C_{pf} &= 1984.2 + 1473.3 \times 10^{-3}T - 4800.8 \times 10^{-6}T^2 \\C_{pc} &= 1548.8 + 1962.5 \times 10^{-3}T - 5939.9 \times 10^{-6}T^2 \\C_{pa} &= 1092.6 + 1889.6 \times 10^{-3}T - 3681.7 \times 10^{-6}T^2 \\C_{pw} &= 4176.2 - 9.0864 \times 10^{-3}T + 5473.1 \times 10^{-6}T^2\end{aligned}$$

C_p : الحرارة النوعية للحليب (J/kg.C°) .
 p : البروتين P : الكسر الكتلي للبروتين
 f : الدهن F : الكسر الكتلي للدهن
 c : الكاربوهيدرات C : الكسر الكتلي للكاربوهيدرات
 a : الرماد A : الكسر الكتلي للرماد
 w : الماء M : الكسر الكتلي للماء
 T : درجة حرارة الحليب (C°) .

التوسيط الحراري : حسب معامل التوصيل الحراري للحليب من المعادلة التالية: (Toledo, 2007) .

$$k = P(k_p) + F(k_f) + C(k_c) + A(k_a) + M(k_w) \dots \dots \dots (2)$$

حسب معامل التوصيل الحراري للحليب من المعادلة التالية : (Toledo,2007) .

$$k = P(k_p) + F(k_f) + C(k_c) + A(k_a) + M(k_w) \dots \dots \dots (3)$$

$$k_p = 0.57109 + 0.0017625 T - 6.7306 \times 10^{-6} T^2$$

$$k_f = 0.1807 - 0.0027604 T - 1.7749 \times 10^{-7} T^2$$

$$k_c = 0.2014 + 0.0013874 T - 4.3312 \times 10^{-6} T^2$$

$$k_a = 0.3296 + 0.001401 T - 2.9069 \times 10^{-6} T^2$$

حيث k : معامل التوصيل الحراري للحليب (W/m. $^{\circ}$ C)

(Singh & Hedman, 2009) : يحسب الانتشار الحراري للحليب من المعادلة التالية :

$$\alpha = \frac{K}{C_n \rho} \dots \dots \dots (4)$$

الكثافة والوزن النوعي: قدرت الكثافة للحليب البكري بالخام والمبستر بالطريقة الاولمية وعلى فروق الجهد 80 و110 و220 V. كما قدر وزنها النوعي أيضاً وفقاً للطريقة المذكورة في (1976) Pearson باستخدام قينية الكثافة PyKnometer الخاصة بحجم (100 سم³) وحسبت الكثافة كما يلى:

$$\text{كثافة الحليب} = \frac{\text{وزن قنينة الكثافة مع الحليب} - \text{وزنها فارغة}}{\text{حجم قنينة الكثافة}}$$

أما الوزن النوعي للحليب فتم حسابه كما يلى:

$$\text{الوزن النوعي للحليب} = \frac{\text{كثافة الحليب}}{\text{كثافة الماء}}$$

الزوجة : تم استخدام جهاز Ostwald الزجاجي (Size A) في تقدير لزوجة الطيب الخام والحلب المبستر بالطريقة الاولميه وعلى ثلاثة فروق جهد V 220, 110, 80,الحلب المبستر بالطريقة التقليدية . واتبع طريقة (1981) SatheandSalunkne في تقدير الزوجة واستخدام الجداول (1982-1983) Weast and Melvin لاستخراج الكثافة النوعية ولزوجة الماء عند درجات حرارة مختلفة، ثم طبقة القانون:

$$\frac{v_1 - \rho_1 t_1}{v_2 - \rho_2 t_2}$$

إذ أن: $v_1 = \text{لزوجة الحليب}$, $\rho_1 = \text{كثافة الحليب}$.

$$\rho = \text{كثافة الماء، } v = \text{لزوجة الماء،}$$

t_1 = وقت نزول الحليب بالدقائق، t_2 = وقت نزول الماء بالدقائق.

التريhil الكهربائي بهلام متعدد الاكريلاميد لبروتينات الشرش :
استخدمت طريقة Disc Poly Acryl amide Gel Electrophoresis (Disc PAGE) كما أوردها Groves (1978).

النتائج والمناقشة درجة حرارة الحليب Milk Temperature

يبين الشكل (1) العلاقة بين درجة الحرارة ($^{\circ}\text{C}$) و زمن التسخين (min.) . عند استعمال التسخين الأومي بفروق جهد V220 ، 110 ، 80 والبسترة التقليدية السريعة . لقد ازدادت درجة الحرارة معنويا ($P \leq 0.05$) مع زيادة زمن التسخين عند استعمال التسخين الأومي بفروق جهد 220V ، 110 ، 80 والبسترة التقليدية السريعة فقد كانت درجة حرارة الحليب الاولية $^{\circ}\text{C}$ 22 وبعد مرور دقيقة من التسخين كانت درجة حرارة الحليب $^{\circ}\text{C}$ 30, 30, 30 على التوالي وبعد مرور 5.5 min بلغت درجة حرارة الحليب $^{\circ}\text{C}$ 65, 63, 72 على الترتيب . ولغرض الوصول إلى درجة حرارة البسترة $^{\circ}\text{C}$ 72 تطلب زماناً مقداره 6.65 min على التوالي وهذا يتفق مع Kong et al,(2008) و Darvishiet Icier and Ilcali,(2005) الذين بيانوا على إن درجة الحرارة تزداد مع زيادة فرق الجهد وانخفاض زمن التسخين اللازم . لكن قد يزداد زمن التسخين على الرغم من فرق الجهد العالي المطبق على الحليب وهذا ما حصل عند فرق الجهد 110V إذ كان أبطأ من 80V عند زمن بين 2-5 min ويرجع ذلك إلى طبقة التربات التي تتكون حول أقطاب التسخين إذ يحصل تباطؤ بسيط بارتفاع درجة الحرارة وزيادة زمن التسخين إذ تحدث دنترة لبروتينات الشرش على الأقطاب الكهربائية مما تكون عائق لمرور التيار الكهربائي بالقدر الكافي وبالتالي يحصل تباطؤ بارتفاع درجة الحرارة وزيادة زمن التسخين نسبيا .
وأظهرت النتائج إن العلاقة التي تحكم درجة الحرارة و زمن التسخين هي المعادلات اللاخطية التي تراوحت من الدرجة الثانية إلى الدرجة الخامسة بمعامل ارتباط 0.99 .
معادلة (1) تمثل درجة الحرارة عند البسترة بالتسخين الأومي على 80V :

$$T_{80V} = -0.6246t^2 + 11.799t + 21.478 \quad (5)$$

المعادلة (6) تمثل درجة الحرارة عند البسترة بالتسخين الأومي على 220V :

$$T_{220V} = 0.2507t^4 - 3.625t^3 + 15.095t^2 - 6.4339t + 23.288 \quad (6)$$

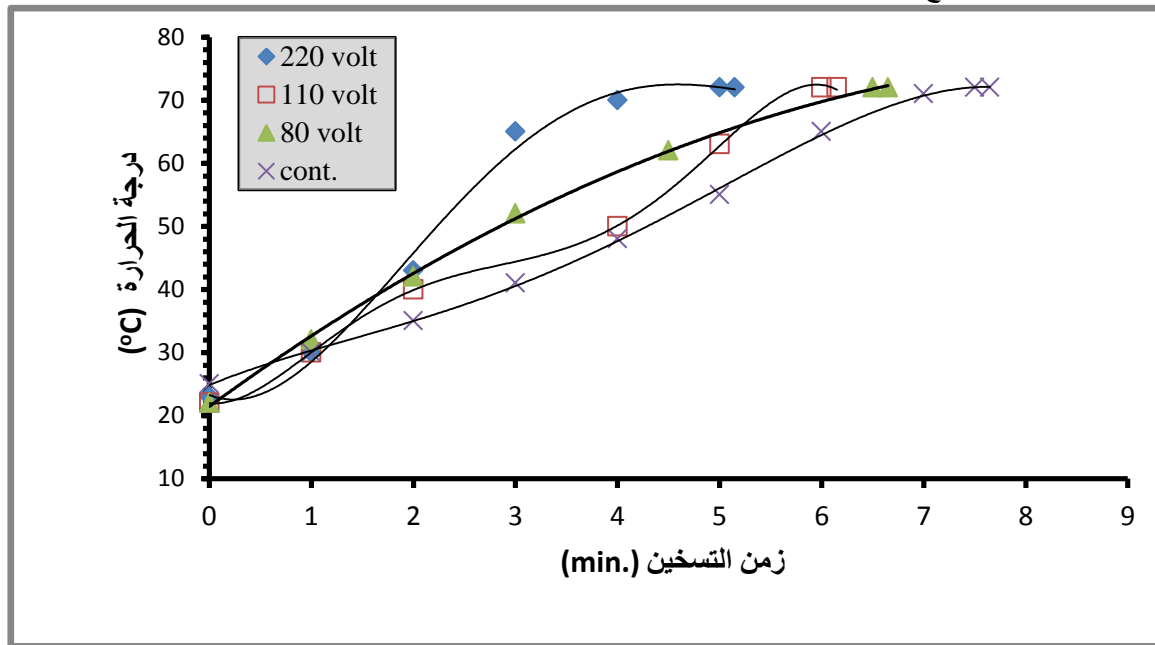
المعادلة (7) تمثل درجة الحرارة عند التسخين بالبسترة التقليدية السريعة :

$$T_{Cont.} = -0.0405t^4 + 0.5209t^3 - 1.6774t^2 - 6.6737t + 24.862 \quad (7)$$

المعادلة (8) تمثل درجة الحرارة عند التسخين الأومي على 110V :

$$T_{110V} = -0.122t^5 + 1.7925t^4 - 8.9003t^3 + 16.887t^2 - 1.5958X + 21.989 \quad (9)$$

وبيّنت النتائج وجود اختلافات معنوية ($P \leq 0.05$) بين التسخين الأومي بفروق الجهد 220V ، 110 ، 80 والبسترة التقليدية السريعة . وكان التسخين أسرع عند 80V ثم 110V ثم 220V ولكن البسترة السريعة ولكن البسترة عند 80V هي الأفضل لأنها لا تسبب تلف الحليب مقارنة مع بقية المعاملات .



شكل (1) : العلاقة بين درجة الحرارة و زمن التسخين الأومي لفروق الجهد 220 ، 110 ، 80 والبسترة التقليدية السريعة

4.1.4 التوصيل الحراري Thermal conductivity

يوضح الشكل (2) العلاقة بين درجة الحرارة ($^{\circ}\text{C}$) والتوصيل الحراري للحليب ($\text{W/m.}^{\circ}\text{C}$) في التسخين الأولي عند فروق جهد مختلفة 80V ، 110 ، 220V و البسترة التقليدية السريعة . ان التوصيل الحراري قد ازداد معنوبا ($P \leq 0.05$) مع زيادة درجة الحرارة عند التسخين الأولي بفارق الجهد جميعها وباسترة التقليدية السريعة فعندما كانت درجة الحرارة $^{\circ}\text{C} 72$ ، 62 ، 52 ، 42 ، 32 ، 22 كان التوصيل الحراري $\text{W/m.}^{\circ}\text{C} 0.6$ ، 0.59 ، 0.58 ، 0.57 ، 0.56 ، 0.55 على التوالي للتسخين الأولي على 80V وهذا يتفق مع (Muramatsu et al (2005) و Kurozawa et al (2008)) على ان التوصيل الحراري يزداد مع زيادة درجة الحرارة .

وأظهرت النتائج عدم وجود فروق معنوية بين التسخين الأولي عند جميع فروق الجهد وباسترة التقليدية السريعة . المعادلة (10) تمثل العلاقة بين التوصيل الحراري للحليب ودرجة الحرارة في التسخين الأولي عند 80V :

$$K_{80\text{V}} = 0.001T + 0.532 \quad \dots \dots \dots \quad (10)$$

المعادلة (11) تمثل العلاقة بين التوصيل الحراري للحليب ودرجة الحرارة في التسخين الأولي عند 110V :

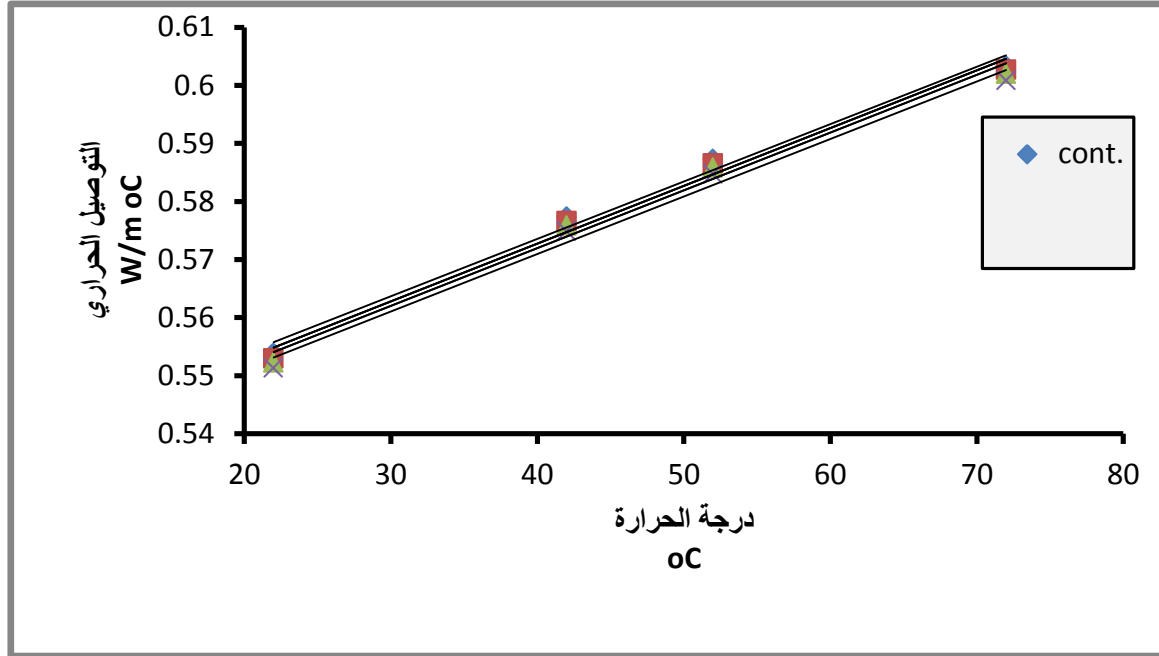
$$K_{110\text{V}} = 0.001T + 0.532 \quad \dots \dots \dots \quad (11)$$

المعادلة (12) تمثل العلاقة بين التوصيل الحراري للحليب ودرجة الحرارة في التسخين الأولي عند 220V :

$$K_{220\text{V}} = 0.001T + 0.531 \quad \dots \dots \dots \quad (12)$$

المعادلة (13) تمثل العلاقة بين التوصيل الحراري للحليب ودرجة الحرارة في البسترة التقليدية السريعة :

$$K_{\text{cont.}} = 0.001T + 0.534 \quad \dots \dots \dots \quad (13)$$



شكل (2) : العلاقة بين التوصيل الحراري ودرجة الحرارة لفرق الجهد 80 ، 110 ، 220V و البسترة التقليدية السريعة

لزوجة الحليب Milk Viscosity

يوضح الشكل (3) العلاقة بين لزوجة الحليب (Pa.s) ودرجة الحرارة (°C) عند استعمال التسخين الأومي بفروق جهد مختلفة 220 ، 110 ، 80 والبسترة التقليدية السريعة . انخفضت لزوجة الحليب مع زيادة درجة الحرارة في التسخين الأومي لجميع فروق الجهد والبسترة التقليدية السريعة ، فعندما كانت درجة الحرارة 22°C كانت لزوجة الحليب 1.73×10^{-3} Pa.s ، 1.71×10^{-3} ، 1.33×10^{-3} ، 1.65×10^{-3} على التوالي في التسخين الأومي لفروق الجهد 220 ، 110 ، 80 والبسترة التقليدية السريعة وبلغت 7.84×10^{-5} Pa.s على التوالي عند درجة الحرارة 72°C وهذا يعود الى ان زيادة درجات حرارة الحليب يؤدي الى انخفاض التكتلات الدهنية المسؤولة عن ارتفاع لزوجة الحليب وبالتالي انخفاض اللزوجة . إن تكتلات الحببيات الدهنية تعمل على إعاقة سيولة الحليب بسبب زيادتها لاحتكاك الداخلي للحليب ومن ثم زيادة اللزوجة (الشبيبي وأخرون ، 1980) . وهذا يتفق مع وأشار الشبيبي وأخرون (1980) ان معدل لزوجة الحليب القياسي على درجة حرارة 20°C هو 1.5-2.0 والذي يعادل Pa.s 0.002-0.0015

وبيّنت النتائج انه لم تظهر فروق معنوية بين التسخين الأومي عند 80V و 220V والبسترة التقليدية وظهرت فروق معنوية في حالة التسخين على 110V . وأظهرت النتائج ان العلاقة بين لزوجة الحليب ودرجة الحرارة خطية عند استعمال التسخين الأومي بفرق جهد 80 ، 220 والبسترة التقليدية وكان معامل الارتباط يتراوح بين 0.97 و 0.98 وكما هو مبين في المعدلات التالية التي يمكن التنبؤ من خلالها بلزوجة الحليب عند أي درجة حرارية :

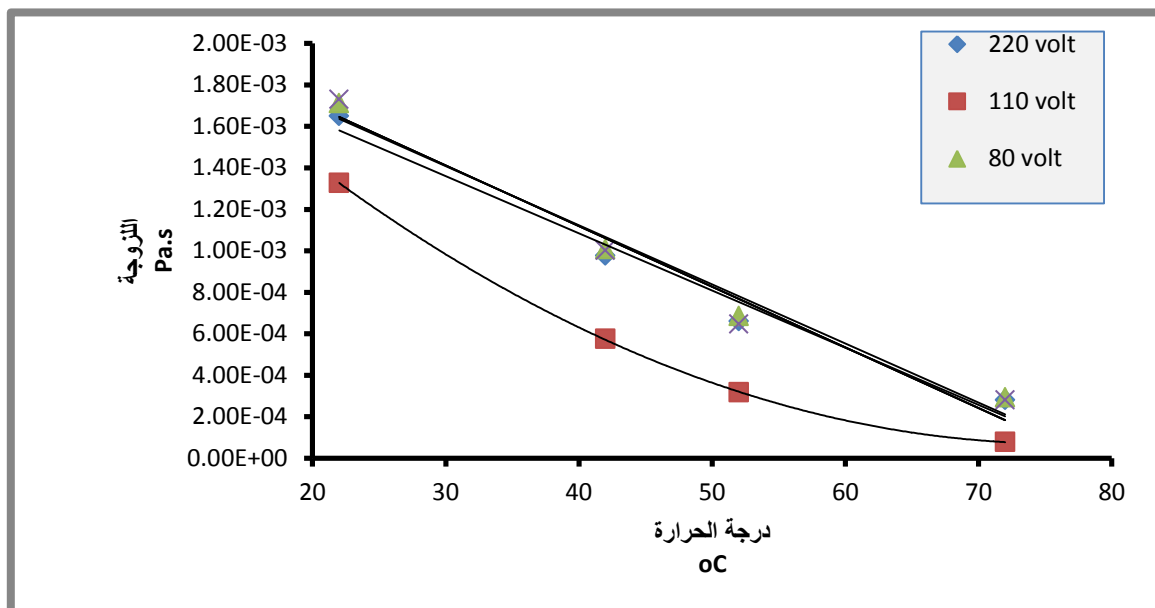
$$\mu_{220V} = -2.756 \times 10^{-5}T + 0.002 \dots \dots \dots (14)$$

$$\mu_{80V} = -2.85 \times 10^{-5}T + 0.002 \dots \dots \dots (15)$$

$$\mu_{Cont.} = -2.923 \times 10^{-5}T + 0.002 \dots \dots \dots (16)$$

بينما كانت العلاقة من الدرجة الثانية بين لزوجة الحليب ودرجة الحرارة في التسخين الأومي لفرق الجهد 110V و 220V وكان معامل الارتباط 0.99

$$\mu_{110V} = 4.312 \times 10^{-7}T^2 - 6.559 \times 10^{-5}T + 0.003 \dots \dots \dots (17)$$



شكل (3) : العلاقة بين اللزوجة ودرجة الحرارة لفروق الجهد 220 ، 110 ، 80 والبسترة التقليدية السريعة

كثافة الحليب Milk density

يبين الشكل (4) العلاقة بين كثافة الحليب kg/m^3 ودرجة الحرارة $^{\circ}\text{C}$ عند فرق جهد مختلف $V_{220} = 220$ ، $V_{110} = 110$ ، $V_{80} = 80$ إذ ان كثافة الحليب انخفضت مع زيادة درجة الحرارة ولجميع فروق الجهد وبلغت كثافة الحليب المعامل بالتسخين الأومي عند درجة حرارة $^{\circ}\text{C} 80$ عند درجة حرارة $^{\circ}\text{C} 20$ هو 1.020 وهي مقاربة لما توصل إليها (النمر ، 2003) إذ بين بان كثافة الحليب في درجة حرارة $^{\circ}\text{C} 15.5$ تتراوح ما بين (1.025-1.030) أما في البسترة التقليدية فان الكثافة في درجة حرارة $^{\circ}\text{C} 20$ كانت اقل من الكثافة في V_{80} . أن التناوب العكسي ما بين الكثافة ودرجة الحرارة في الحليب يعود بالدرجة الأولى إلى وجود البروتينات والدهن في الحليب . إذ أن قلة الدهن في الحليب يؤدي إلى انخفاض الكثافة وأن التبخر الحاصل أثناء التسخين قد يؤدي إلى انخفاض الرطوبة وبالتالي انخفاض كثافة الحليب عن الحد القياسي (الشبيبي وآخرون ، 1980) .

وعند استعمال التسخين الأومي لفروق الجهد $V_{220} = 220$ ، $V_{110} = 110$ كانت قيم الكثافة اقل منها عند V_{80} وباسترة التقليدية السريعة . وأظهرت النتائج أن قيمة الكثافة عند استعمال فرق الجهد $V_{110} = 110$ كانت 1010.1 kg/m^3 وعند $V_{220} = 220$ كانت 1007.29 kg/m^3 والسبب قد يعود إلى أن التسخين الشديد يسبب انخفاض في رطوبة الحليب مما يؤثر على قيمة الكثافة القياسية وكذلك فان الدنترة الحاصلة في بروتينات الشرش على الأقطاب يعني فقد جزء من بروتينات الحليب وبالتالي انخفاض قيمة الكثافة باعتبار أن البروتينات من العوامل المهمة التي تحدد القراءة القياسية للكثافة وهذا يتفق مع (الشبيبي وآخرون ، 1980) إذ بين بان التناوب العكسي بين الكثافة ودرجة الحرارة يعتمد بالدرجة الأولى على وجود البروتينات والدهن في الحليب .

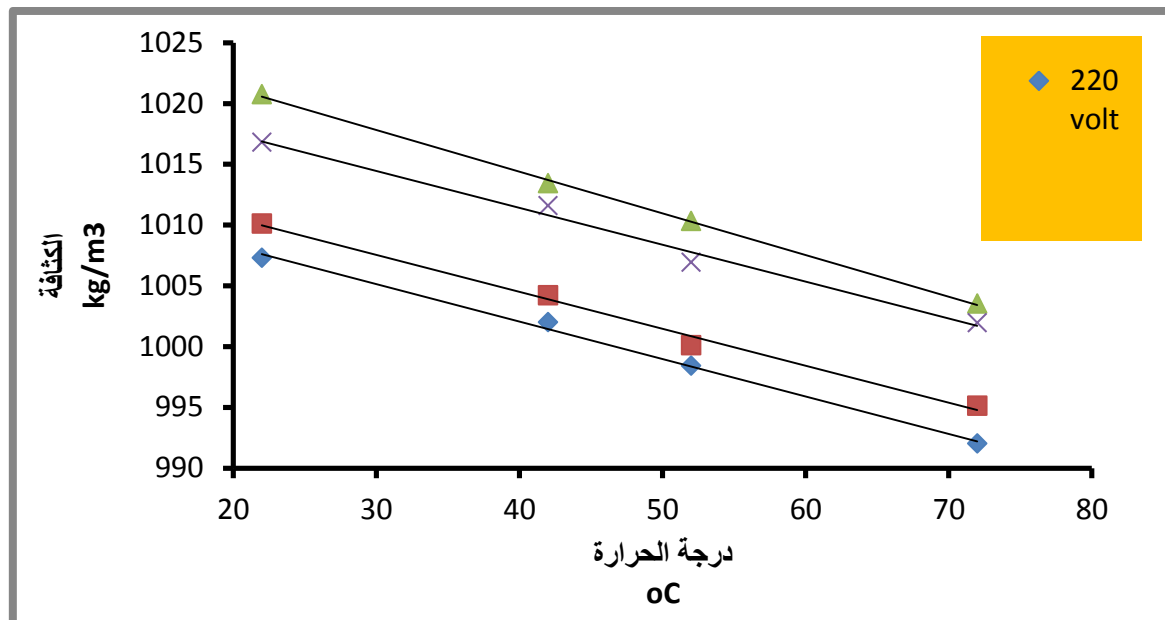
والمعادلات التجريبية التالية التي من خلالها يمكن التنبؤ لقيم الكثافة عند درجات حرارية مختلفة :

$$\rho_{220V} = -0.308T + 1014.395 \dots \dots \dots (18)$$

$$\rho_{110V} = -0.304T + 1016.674 \dots \dots \dots (19)$$

$$\rho_{220V} = -0.343T + 1028.114 \dots \dots \dots (20)$$

$$\rho_{\text{cont.}} = -0.303T + 1023.573 \dots \dots \dots (21)$$



شكل (4) : العلاقة بين الكثافة ودرجة الحرارة لفروق الجهد $V_{220} = 220$ ، $V_{110} = 110$ ، $V_{80} = 80$ وباسترة التقليدية السريعة

الحرارة النوعية Specific heat

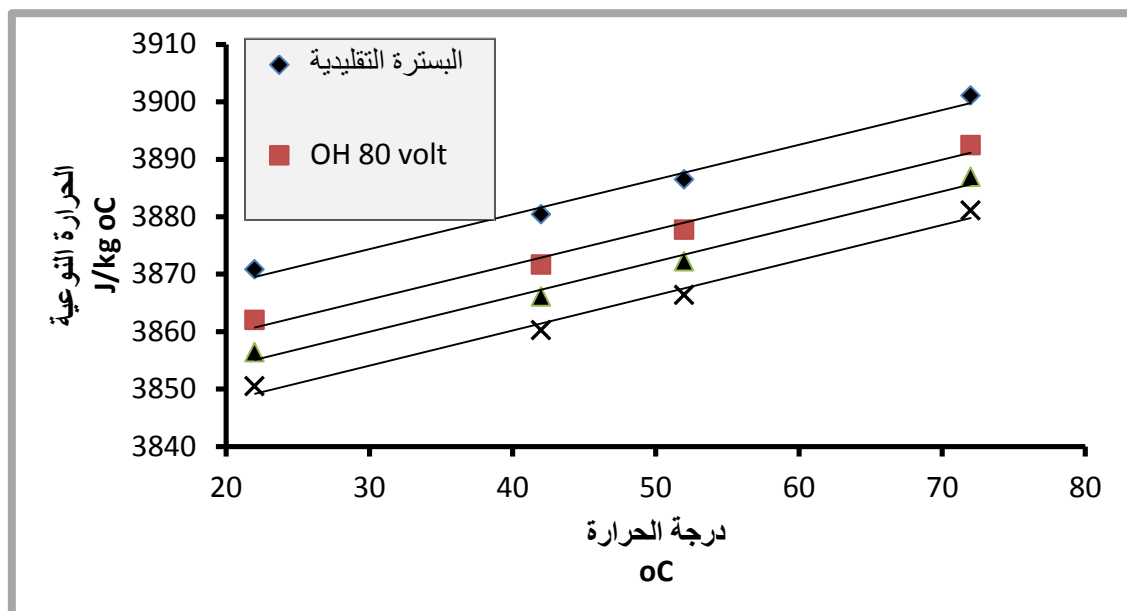
يوضح الشكل (5) الذي يبين تأثير درجة الحرارة C° على الحرارة النوعية ($J/kg. ^{\circ}C$) في التسخين الأولي عند $V = 220V$ ، $110V$ ، $80V$ والبسترة التقليدية السريعة . ازدادت الحرارة النوعية معنويًا ($P \leq 0.05$) مع زيادة درجة الحرارة في التسخين الأولي عند جميع فروق الجهد بالإضافة إلى البسترة التقليدية السريعة . فثلاً عند البسترة بالتسخين الأولي على $V=80V$ عندما كانت درجة الحرارة $C=22^{\circ}C$ بلغت الحرارة النوعية $3860J/kg. ^{\circ}C$ ثم بدأت بالارتفاع مع ارتفاع درجات الحرارة إلى إن وصلت $J/kg. ^{\circ}C$ في درجة حرارة البسترة $C=72^{\circ}C$ ، أما التسخين الأولي عند $V=110V$ فقد كانت الحرارة النوعية على $C=22^{\circ}C$ حوالي $3855J/kg. ^{\circ}C$ إلى أن وصلت إلى $3880J/kg. ^{\circ}C$ عند درجة حرارة البسترة $C=72^{\circ}C$ ، وفي التسخين الأولي عند $V=220V$ كانت الحرارة النوعية في $C=22^{\circ}C$ ثم ازدادت الحرارة النوعية مع ارتفاع درجة الحرارة حتى وصلت إلى $3870J/kg. ^{\circ}C$ في درجة حرارة البسترة $C=72^{\circ}C$ ، وكانت الحرارة النوعية للحليب في البسترة التقليدية السريعة في $3870J/kg. ^{\circ}C$ ووصلت إلى $3900J/kg. ^{\circ}C$ في درجة حرارة البسترة $C=72^{\circ}C$ وأظهرت النتائج إن الحرارة النوعية كانت أعلى عند البسترة التقليدية السريعة ثم يليها التسخين الأولي على $V=80V$ ومن ثم $V=110V$ و $V=220V$ على التوالي .
 وبين Balint (2001) ان الحرارة النوعية هي دالة لدرجة الحرارة للمكونات المختلفة من الغذاء . وأشار Singh & Heldman (2009) أن الحرارة النوعية للحليب المبستر الكامل هي $3860J/kg. ^{\circ}C$.
 أدناه المعادلات التجريبية للحرارة النوعية للحليب وبمعامل ارتباط يتراوح 0.98-0.99 :

$$C_p_{220V} = 3835.752 + 0.611T \dots \dots \dots (22)$$

$$C_p_{110V} = 3841.651 + 0.611T \dots \dots \dots (23)$$

$$C_p_{80V} = 3847.316 + 0.609T \dots \dots \dots (24)$$

$$C_p_{cont.} = 3856.206 + 0.605T \dots \dots \dots (25)$$



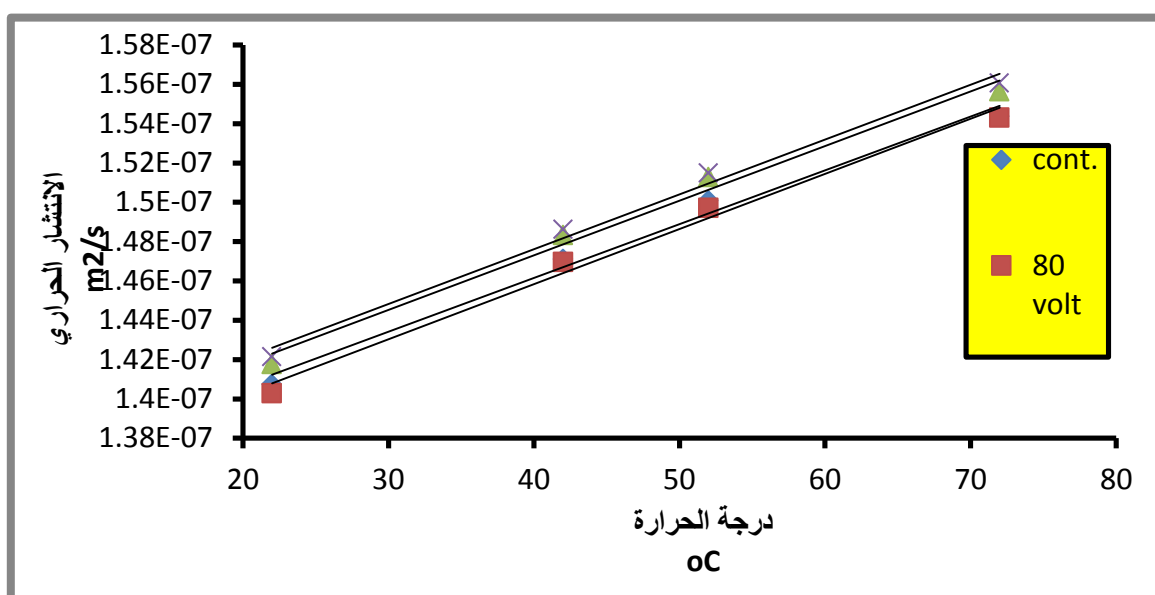
شكل (5) : العلاقة بين الحرارة النوعية ودرجة الحرارة لفروق الجهد $V=220V$ ، $110V$ ، $80V$ والبسترة التقليدية السريعة

7.1.4 الانتشار الحراري Thermal Diffusivity

الشكل (6) يبين العلاقة بين الانتشار الحراري m^2/s ودرجة الحرارة $^{\circ}C$ عند التسخين الأولي بفرق الجهد V220 ، 110 ، 80 والبسترة التقليدية السريعة اذ نلاحظ عدم وجود فروقات معنوية كبيرة بين فرق الجهد المختلفة والبسترة التقليدية السريعة في الانتشار الحراري فقد كانت معدلات الانتشار الحراري للحليب المبستر بالتسخين الأولي عند فرق الجهد V220 ، 110 ، 80 والبسترة التقليدية السريعة $10^{-7} \times 1.47951 \text{ m}^2/\text{s}$ ، $1.48321 \times 10^{-7} \text{ m}^2/\text{s}$ ، $1.48584 \times 10^{-7} \text{ m}^2/\text{s}$ على الترتيب. وهذا يتفق مع (Wilhelm *et al.*, 2005) الذين بنوا على ان الانتشار الحراري للمنتجات الغذائية يتراوح ما بين $10^{-7} \times 1.4 \text{ m}^2/\text{s}$ و $10^{-7} \times 1.40271 \text{ m}^2/\text{s}$. ازداد الانتشار الحراري معنوبا ($P \leq 0.05$) مع زيادة درجات الحرارة عند التسخين الأولي بفرق الجهد المختلفة جمیعاً والبسترة التقليدية السريعة فعندما كانت درجة الحرارة $^{\circ}C$ 22 كان الانتشار الحراري للحليب $10^{-7} \times 1.40271 \text{ m}^2/\text{s}$ ، $1.41767 \times 10^{-7} \text{ m}^2/\text{s}$ ، $1.42138 \times 10^{-7} \text{ m}^2/\text{s}$ ، $1.40734 \times 10^{-7} \text{ m}^2/\text{s}$ في التسخين الأولي عند فرق جهد V220 ، 110 ، 80 والبسترة التقليدية السريعة على التوالي . وهذا يعود الى ان الانتشار الحراري يتاسب طردياً مع التوصيل الحراري وعكسياً مع الكثافة والحرارة النوعية . وبما ان التوصيل الحراري قد ازداد مع زيادة درجة الحرارة وبعكس الكثافة والحرارة النوعية لذلك ازداد الانتشار الحراري مع زيادة درجة الحرارة .

المعادلات الخطية التالية الخاصة بالانتشار الحراري للحليب عند البسترة بالتسخين الأولي عند فرق الجهد V220 ، 110 ، 80 والبسترة التقليدية السريعة :

$$\lambda_{220\text{V}} = 2.787 \times 10^{-10}T + 1.365 \times 10^{-7} \quad \dots\dots(26)$$



شكل (6) : العلاقة بين الانشطار الحراري ودرجة الحرارة لفروق الجهد V220 ، 110 ، 80 والبسترة التقليدية السريعة

جامعة كربلاء // المؤتمر العلمي الثاني لكلية الزراعة 2012

المصادر :

- الحلفي، اسعد رحمان سعيد و علي، حيدر ابراهيم و محسن، غسان فيصل (2012). تصميم مبستر اومي للحليب و دراسة كفاءته. مجلة ابحاث البصرة (العلوميات). 4 (38) : 1-18.
- حوباني، علي ابراهيم ابو بكر و حسن ، بكري حسين (1997) . العمليات المتكاملة في التصنيع الغذائي . مترجم عن ار. ال . ايرل (1992) . النشر العلمي والمطبع ، جامعة الملك سعود.
- الشيببي ، محسن محمد علي و شكري ، نزار أحمد و طعمه ، صادق جواد و علي ، هيلانحمدی (1980) . مبادئ الألبان العامة مؤسسة دار الحكمة للطباعة والنشر جامعة الموصل ، الموصل - العراق.
- النمر، طارق مراد (2003).الألبان: النظرية والتطبيق.مكتبه بستان المعرفة لطبع ونشر وتوزيع الكتب ، جامعة الاسكندرية ، مصر
- Barbosa-Cánovas ,G.V. ;Juliano , P.andPeleg ,M. (2004/Rev.2006).Engineering properties of food , [Ed. Gustavo V. Barbosa-Cánovas], in *Encyclopedia of Life Support Systems (EOLSS)*, Developed under the Auspices of the UNESCO, Eolss Publishers, Oxford ,UK.
- Farzana,S; Faqir, M. A.; Nuzhat, H.; Amer, J. (2010) .Effect of Different UHT Processing Temperatures on Ash and Lactose Content of Milk during Storage at Different Temperatures *J . AgriBiol.*, Vol. 12, No. 3, 2010
- Food and Drug Administration-Center for Food Safety and Applied Nutrition(FDACFSAN). 2000 .Kinetics of Microbial Inactivation for Alternative Food Processing Technologies-Ohmic and Inductive Heating www.cfsan.fda.gov/~comm/ift-ohm.html
- Groves,M.L.(1978). Disc gel electrophoresis of minor milk .Proteins .Edited by Harold Swaisgood.
- Hosain ,D . ; Adel , H.; Farzad ,N.; Mohammad, H.K.; Hosain ,T. (2011).Ohmic Processing: Temperature Dependent Electrica Conductivities of Lemon Juice. *Published by Canadian Center of Science and Education* Vol. 5, No. 1; February 2011.
- Icier, F.&Ilicali , C. (2005) . The effects of concentration on electrical conductivityof orange juice concentrates during ohmic heating. *EuropeanFoodResearchandTechnology*,220:406– 414 .
- Kong,Y.Q. ; Dong, Li. ; Wang, L.J. ; Bhandari ,B. ; Chen,X.D. Mao, Z.H .(2008).Ohmic Heating Behavior of Certain Selected Liquid Food Materials, International.*JournalofFoodEngineering* ,Volume 4, Issue3.
- Leizeron , S. and Shimoni , E. (2005) . Stability and sensory shelf life of orange juice pasteurized by continuous ,ohmic heating . *J. Agric Food ohem* .53 : 4012 - 2018 .
- Louise ,E.K.; Kil, J.P.; Miriam, D.H.; Fernanda, E.X.M.andPatrícia, M.A. (2008). Thermal conductivity and thermal diffusivity of papaya (*Carica papaya* L.)and cashew apple (*Anacardiumoccidentale*L.)*Braz. J. Food Technol.*, v. 11, n. 1, p. 78-85, jan./mar
- Person , D. (1976) . The chemical analysis of food , 7th Ed . Churchill living stone , Edinburgh , London and New York .
- Rao , M . A .; Rizvi , S . S .H .; Datta , A .K .(2005). Engineering properties of Food . Third edition .CRC Press.US.P.732.
- Shirsat , N ., Lyng , J. G ., Brunton , N. P., McKenna , B . (2004) .Ohmicprocessing: Electrical conductivities of pork cuts. *MeatScience* ,67, 507–514.
- Singh , R.P.; and D.R .Hedman . (2009) .Introduction to Food Engineering (fourth edition). Academic Press Publication.
- Toledo, R.T.(2007).Fundamentals of food process Engineering . Third Edition .Springer Science + Business Media , LLC.P. 579.
- Vicente, A.A. (2007). Novel technologies for the thermal processing of foods . Proceedings of Encontro de Quimica dos Alimentos: alimentostradicionais,alimentossaudaveisrastreabilidade” [CD-ROM]BeInstitutoPolitecnico de Beja , 2007, pp . 499 – 506 .
- Vikram,V.B.; Ramesh, M. N.; Prapulla, S. G. (2005).Thermal degradation kinetics of nutrients in orange juice heated by electromagnetic and conventional methods.*JournalofFoodEngineering*, 69, 31–40.
- Weast, R. C. and Melvin, J. A. (1982-1983). CRC. Hand book of chemistry and physics. ,63rd.
- Zareifard, M. R.; Ramaswamy, H. S.; Trigui, M., Marcotte, M. (2003).Ohmic heating behavior and electrical conductivity of two-phase food Systems.*Innovative Food Science and Emerging Technologies*, 4, 45–55.